#### ФУНКЦИОНАЛЬНАЯ МИКРО- И НАНОЭЛЕКТРОНИКА

Д. ф.-м. н. А. В. КАРИМОВ, к. ф.-м. н. Д. М. ЁДГОРОВА, О. А. АБДУЛХАЕВ, Ф. А. ГИЯСОВА, Ж. Т. НАЗАРОВ

Республика Узбекистан, г. Ташкент, НПО «Физика-Солнце»; Навоийский государственный горный институт E-mail: karimov@uzsci.net; navggi@intal.uz.

Дата поступления в редакцию 02.02— 15.10 2009 г. Оппонент к. т. н. Я. Я. КУДРИК (ИФП им. В. Е. Лашкарёва, г. Киев)

# МНОГОФУНКЦИОНАЛЬНАЯ ГОМОПЕРЕХОДНАЯ АРСЕНИД-ГАЛЛИЕВАЯ n-p-m-СТРУКТУРА

Приведены особенности технологии изготовления и фотоэлектрических характеристик обратновключенной п-р-т-структуры на основе арсенида галлия.

Необходимость улучшения параметров полупроводниковых структур, перспективных для использования в микро- и оптоэлектронике, в частности структур с прямо- и обратновключенными (p-n-p и n-p-n) гомо- и гетеропереходами, требует исследования их характеристик [1-7]. При этом возможность варьировать параметры базовой  $p^0-n^0$ -области GaAs-диодов, изготовленных из  $p^+-p^0-n^0-n^+$ -структур, открывает перспективы развития новых направлений как в физике и технике полупроводниковых приборов на основе GaAs-структур, так и в новых областях техники и технологии сверхвысокочастотных и сверхширокополосных систем и устройств, оперирующих импульсными сигналами пикосекундной длительности.

В работе [3] для увеличения диапазона рабочих частот  $p^+$ –i– $n^+$ -структуры было продублировано отражение i– $n^+$ -перехода в интегрированной  $n^+$ –i– $p^+$ –i– $n^+$ -структуре. В аналогичных  $p^+$ –n– $n^+$ -структурах на основе поликристаллического кремния [4] было получено инжекционное усиление фототока в 250 раз. Поскольку структуры имеют S-образную вольт-амперную характеристику, эффект усиления реализуется в режиме прямого смещения.

Авторы [5] на основе комбинации прямо- и обратновключенных гетеропереходов создали светоизлучающие тиристорные nGaSb-pGaSb-nGaInAsSb-PAlGaAsSb-pGaSb-структуры с максимумом излучения на длине волны  $\lambda$ =1,95 мкм. При этом их средняя оптическая мощность достигала 2,5 мВт, а пиковая мощность в импульсном режиме — 71 мВт и превышала в 2,9 раза величину мощности, полученную для стандартного nGaSb/nGaInAsSb/PAlGaAsSb-светодиода, излучающего в том же спектральном диапазоне.

В работе [8] была реализована pSi— $n^+$ ZnO—nZnO—Pd-структура, позволяющая принимать световые сигналы. Каждый элемент этой структуры в отдельности (pSi— $n^+$ ZnO и nZnO—Pd) обладал свойствами солнечного элемента и детектора водорода. При возбуждении интегрированной структуры в области собственного поглощения кремния создавался фототок, обус-

ловленный генерацией электронно-дырочных пар на гетерогранице  $p\mathrm{Si-}n^+\mathrm{ZnO}$ . Относительно рабочего напряжения один переход смещен в прямом направлении, а другой — в обратном. В структуре с аналогичными переходами, т. е. в биполярном транзисторе с барьером Шоттки в коллекторном переходе, можно управлять коэффициентом усиления и квантовым выходом, изменяя толщину базовой области [6].

Таким образом, увеличение частотного диапазона и фоточувствительности полупроводниковых структур в заданном спектральном диапазоне является на сегодня актуальной задачей. Для этого используются приемы модификации структур с прямои обратновключенными переходами и варьирование параметров базовой области.

В настоящей работе приведены особенности технологии изготовления и фотоэлектрических характеристик обратновключенной n-p-m-структуры на основе арсенида галлия.

# Выбор параметров *n-p-m*-структуры для изготовления экспериментальных образцов

Несмотря на то, что к настоящему времени исследователями создаются разновидности структур с прямо- и обратновключенными переходами, остаются нерешенными проблемы комплексного улучшения их параметров, т. к. улучшение одного параметра приводит к ухудшению другого параметра. Так, использование новой технологии выращивания нанослоев и квантовых точек в  $p^+$ -ii- $p^+$ -структуре с прямовключенными переходами позволило получить высокую фоточувствительность в инфракрасной области спектра [9]. Основу фотоприемника составляет трехслойная структура на основе Si с квантовыми точками из Ge, повторяющаяся 8 раз. В главном максимуме фотопроводимости, приходящемся на длину волны излучения больше 20 мкм, обнаружительная способность достигала  $1,7\cdot 10^8$  см· $\Gamma$ ц $^{1/2}/B$ т, что несколько меньше, чем в ИК-детекторах на основе барьеров Шоттки PtSi-pSi ( $10^{10}$  см· $\Gamma II^{1/2}/BT$ ) [10].

Как альтернативный вариант фотоприемников на ближний ИК-диапазон были предложены биполярные  $n^+$ –p– $n^+$  Ge/Si фототранзисторы с плавающей базой из двенадцати слоев Ge, встроенных в p-область кремния. В этих фототранзисторах при засветке со стороны плоскости p–n-переходов реализуется максимальная квантовая эффективность (3% на длине волны 1,3 мкм) [11]. Общими для упомянутых структур яв-

### ФУНКЦИОНАЛЬНАЯ МИКРО- И НАНОЭЛЕКТРОНИКА

ляются критерии выбора базовой области, в частности, они выбираются как можно более высокоомными. В результате остается проблематичным повышение эффективности структур. Кроме того, в процессе образования фототока в этих структурах доминирует один тип носителей.

Эти проблемы остаются нерешенными и в гетеропереходных транзисторах. Так, в работе [6] предлагается фототранзисторная гетероструктура на основе композиции nInP-pInGaAsP-Au с барьером Шоттки. Как показано в энергетической зонной диаграмме (рис. 1, a), ее эмиттерная область n-типа является широкозонной, а базовая область *p*-типа — узкозонной. Рабочим является режим запирания pInGaAsP-Auбарьера. Приложение напряжения в темноте вызывает перетекание малого количества электронов (неосновных носителей) из эмиттера в коллектор. При освещении генерируемые в области объемного заряда дырки собираются у n-p-барьера, и лишь генерированные электроны достигают коллекторного контакта. Собирающиеся дырки создают нескомпенсированный положительный объемный заряд, уменьшающий потенциальный барьер n-p(+)-перехода «эмиттербаза» и резко увеличивающий поток дырок из эмит-

В другой работе [7] предлагается фототранзисторная гетероструктура с варизонной базовой областью, полученная методом молекулярно-лучевой эпитаксии. Коллектор выполнен из высокоомного nGaAs, а широкозонный эмиттер — из nAl $_{0.45}$ Ga $_{0.55}$ As с запрещен-

ной зоной шириной  $E_g$ =2 эВ. Состав сильнолегированной базовой области изменяется от pGaAs у коллекторного перехода до nAl $_{0,2}$ Ga $_{0,8}$ As ( $E_g$ =1,8 эВ). Как видно из энергетической зонной диаграммы (рис. 1,  $\delta$ ), небольшой пик в зоне проводимости на границе эмиттерного перехода должен предотвратить обратную инжекцию электронов в эмиттер. Заметим, что в данной структуре имеются те же недостатки, что и в фототранзисторной гетероструктуре с барьером Шоттки. Кроме того, преимущества варизонной структуры реализуются при очень больших значениях входного сигнала, т. к. частотный диапазон фототранзистора определяется не временем пролета, а временем перезарядки емкостей эмиттера и коллектора.

Анализ упомянутых работ показывает, что для выяснения путей устранения перечисленных недостатков целесообразно исследовать гомопереходную структуру с различными базовыми областями. Для этого были изготовлены специальные nGaAs-pGaAs-Ад-структуры. В них для повышения фоточувствительности базовая область расположена под потенциальным барьером. Гомопереход п-р получен выращиванием из жидкой фазы эпитаксиального слоя pGaAs на подложке nGaAs, легированного теллуром до концентрации носителей 2,1016 см-3. Концентрация же носителей в эпитаксиальном слое pGaAs толщиной 1,5 мкм составляла  $5 \cdot 10^{17}$  см<sup>-3</sup>. С тыльной стороны подложки nGaAs толщиной 400 мкм был нанесен напылением в вакууме омический контакт на основе сплава In+Sn, а на поверхности эпитакси-

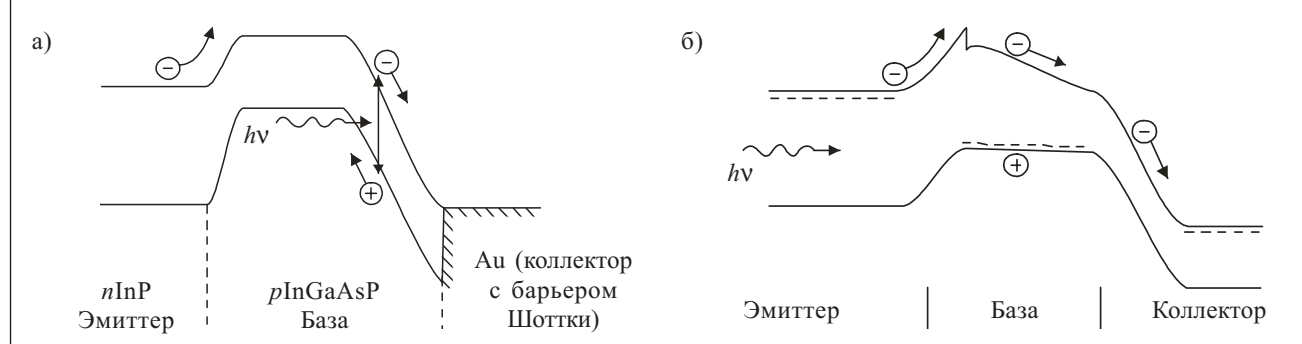


Рис. 1. Энергетические зонные диаграммы фототранзисторов с гетеропереходом (а) и варизонной базовой областью (б)

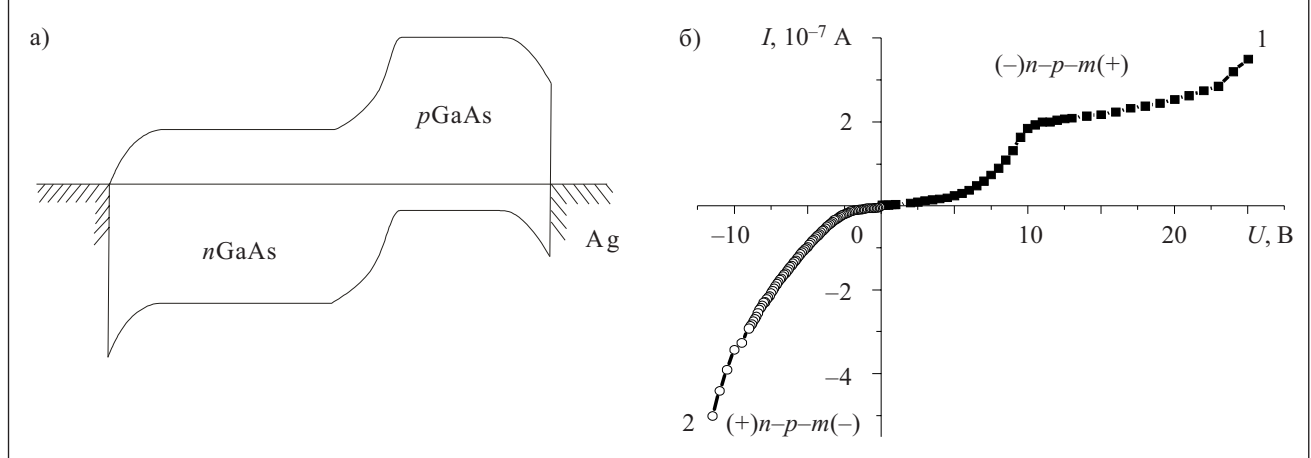


Рис. 2. Качественная энергетическая зонная диаграмма nGaAs-pGaAs-Ag-структуры с гомопереходом в равновесном состоянии и ее вольт-амперная характеристика

### ФУНКЦИОНАЛЬНАЯ МИКРО- И НАНОЭЛЕКТРОНИКА

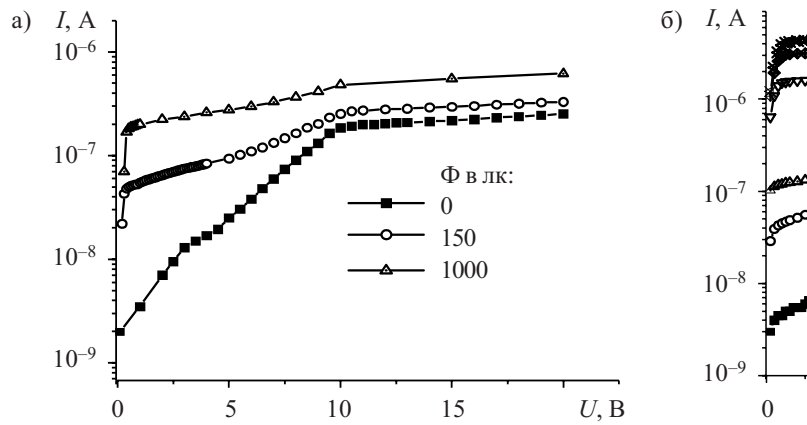
ального слоя был сформирован выпрямляющий потенциальный барьер из полупрозрачного Ag. Площадь структуры составляла 24 мм². В отличие от известных структур, в полученной арсенид-галлиевой n-p-m-структуре, аналоге биполярного n-p-n-транзистора с плавающей базой, при любой полярности напряжения слой объемного заряда расширяется в одном направлении — в сторону контакта эмиттера: от металла в p-слой и от p-области вглубь nGaAs-подложки. Энергетическая зонная диаграмма предложенной структуры приведена на **рис. 2**, a. Как видно, от приложенного напряжения поочередно запираются nGaAs-pGaAs и pGaAs-Ag-переходы.

Известно [11], что фотоэлектрические характеристики биполярной транзисторной структуры на основе традиционных переходов (*p*–*n*–*p* и *n*–*p*–*n*) исследуются лишь при одной полярности рабочего напряжения, в режиме запирания фотоприемного коллекторного перехода, когда базовая область остается в плавающем режиме. В исследуемой специальной *n*–*p*–*m*-структуре фоточувствительность обеспечивается при обеих полярностях включения. Поэтому условно за прямое направление принято прямосмещающее *n*–*p*-переход включение внешнего напряжения, а за обратное направление — запирающее *n*–*p*-переход включение. Соответствующая вольт-амперная характеристика *n*–*p*–*m*-структуры приведена на рис. 2, 6.

Таким образом, в полученной арсенид-галлиевой n-p-m-структуре, в отличие от известных биполярных аналогов, меньшее значение концентрации носителей в n-области по сравнению с p-областью толщиной в 1,5 мкм приводит к тому, что слой объемного заряда n-p-перехода расширяется вглубь эмиттерной n-области.

## Фотоэлектрические характеристики *n-p-m*-структуры на основе арсенида галлия

Темновые и световые характеристики структуры в прямом и обратном режимах включения приведены на **рис.** 3. В (-)n-p-m(+)-режиме (рис. 3, a) вольтамперную характеристику можно разбить на два участка. На первом участке наблюдается нелинейное увеличение протекающего тока на два порядка (от  $2 \cdot 10^{-9}$  до  $2 \cdot 10^{-7}$  A), которое сменяется близкой к линейной зависимостью с незначительным возрастанием. Такой ход вольт-амперной характеристики обусловлен процессом запирания базовой области из эпитаксиального слоя pGaAs и свидетельствует о сложном характере механизма токопереноса. В режиме (+)n-p-m(-) (рис. 3, б) в интервале напряжения 0— 12 В наблюдается рост обратного тока (от  $4 \cdot 10^{-9}$  до  $4 \cdot 10^{-7} \text{ A}$ ) с замедляющимся характером, связанный с запиранием *п*–*p*-перехода. Здесь токоперенос обусловлен генерацией носителей в слое объемного заряда *п*–*p*-перехода.



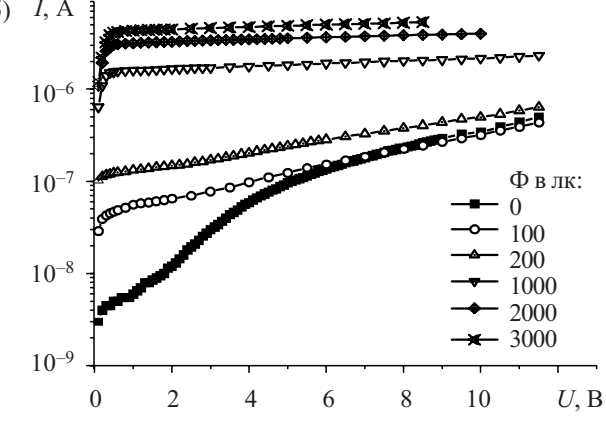
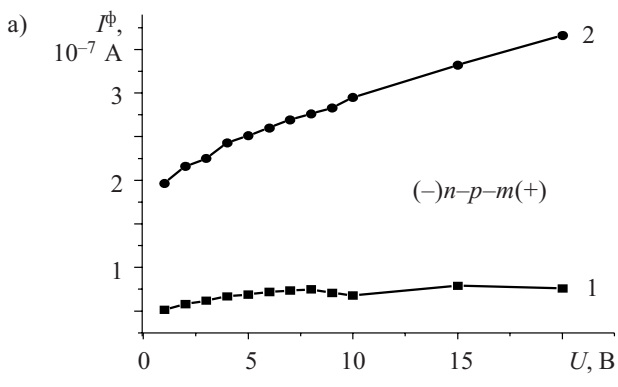


Рис. 3. Световые характеристики исследуемой структуры в режиме прямого (a) и обратного (b) смещения n–pперехода при разной освещенности



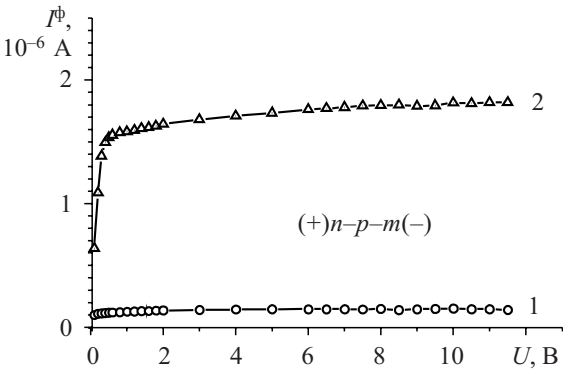


Рис. 4. Фототоки в гомопереходной структуре в режиме прямого (a) и обратного (b) смещения n–p-перехода при различной освещенности:  $I-150~{\rm n\kappa}; 2-1000~{\rm n\kappa}$ 

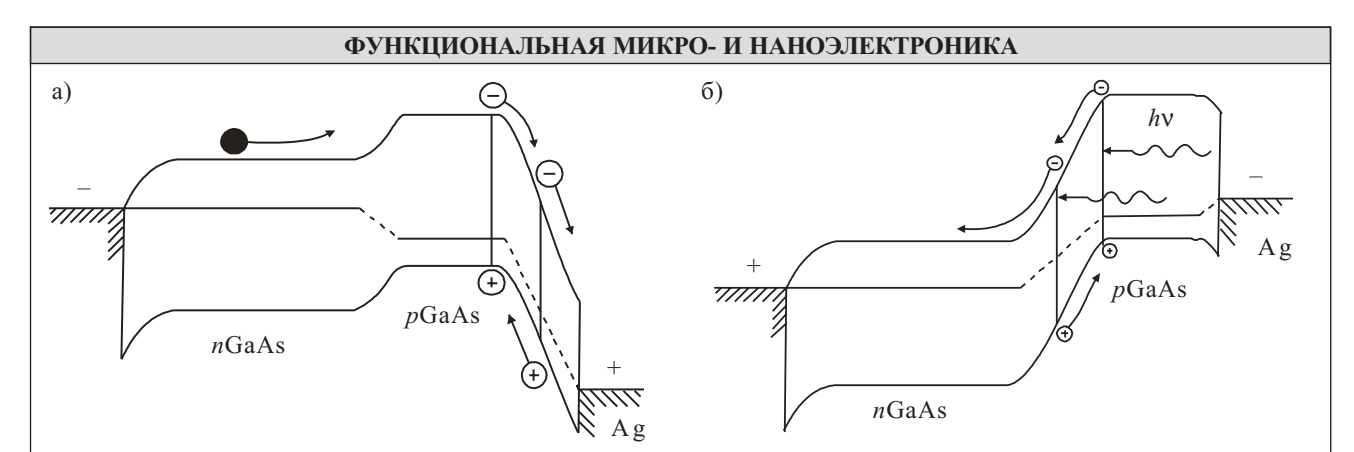


Рис. 5. Качественная энергетическая зонная диаграмма nGaAs-pGaAs-Ag-структуры при различных режимах включения:

a — прямого смещения;  $\delta$  — обратного смещения

При возбуждении структуры световым излучением от вольфрамовой лампы в режиме прямого смещения (рис. 4, а) фототок (разность значений светового и темнового токов) с увеличением напряжения увеличивается, т. е. имеет место внутреннее фотоэлектрическое усиление. Увеличение освещенности приводит к более резкому возрастанию фототока. Чем больше рабочее напряжение, тем больше коэффициент фотоэлектрического усиления.

При смене полярности рабочего напряжения (режим обратного смещения), когда происходит запирание полупроводникового *п*–*p*-перехода, фототок не зависит от величины напряжения, но увеличивается пропорционально интенсивности светового сигнала. Чем больше интенсивность освещения, тем больше фототок. Наблюдаемую зависимость можно объяснить фототранзисторным эффектом, имеющим место в биполярном транзисторе с плавающей базой [12, с. 181—192].

Следует отметить, что в режиме фотоэлектрического усиления (рис. 4, а) фототок почти на порядок меньше, чем в фототранзисторном режиме (рис. 4, 6). Как показывает энергетическая зонная диаграмма, в режиме прямого смещения п-р-перехода фотогенерированные дырки скапливаются в *n-p*-барьере **(рис. 5**, a). Фототок создается генерированными электронами. В случае запирания n-p-перехода (рис. 5,  $\delta$ ) в образовании фототока участвуют и электроны, и дырки, поэтому в этом режиме фототок больше. Другое отличие состоит в том, что в фототранзисторном режиме генерация фотоносителей осуществляется как из базовой области (pGaAs), так и из области объемного заряда n-p-перехода. В режиме (-)n-p-m(+) генерация фотоносителей осуществляется лишь из области объемного заряда барьера «металл—полупроводник».

\*\*\*

Таким образом, исследования фотоэлектрических характеристик показали, что предложенная гомопереходная n-p-m-структура на основе арсенида галлия в зависимости от режима включения может выполнять функцию как усилителя или приемника оптических сигналов (прямое смещение), так и оптического трансформатора (обратное смещение).

Такая многофункциональность структуры обуславливается совместным обеспечением процессов модуляции базовой области и генерации фотоносителей из области объемного заряда n-p-перехода, а также реализацией условий генерации фотоносителей барьером Шоттки.

#### ИСПОЛЬЗОВАННЫЕ ИСТОЧНИКИ

- 1. Козлов В. А., Рожков А. В., Кардо-Сысоев А. Ф. Ударноионизационный волновой пробой и генерация пикосекундных сверхширокополосных и сверхвысокочастотных импульсов в дрейфовых диодах на основе GaAs с резким восстановлением // ФТП.— 2003.— Т. 37, вып. 12.— С. 1480—1481.
- 2. Транзисторы. Параметры, методы измерений и испытаний / Под ред. И. Г. Бергельсона, Ю. А. Каменецкого, И. Ф. Николаевского.— М.: Сов. радио, 1968. (http://dvo-.sut.ru/libr/eqp/i001eqp1/2.htm)
- 3. Fangmin Guo, Aizhen Li, Yanlan Zheng et al. DC and RF characteristics of MBE grown GaAs barrier diode // Journal of Crystal Growth.— 2001.— Vol. 227.— P. 223—227.
- 4. Алиев Р. Инжекционное усиление фототока в поликристаллических кремниевых  $p^+$ –n– $n^+$ -структурах // ФТП.— 1997.— Т. 31, вып. 4.— С. 425—426.
- 5. Стоянов Н. Д., Журтанов Б. Е., Именков А. Н. и др. Высокоэффективные светодиоды на основе тиристорной гетероструктуры 11 типа *n*–GaSb/*p*–GaSb/*n*–GaInSb/P–AlGaAsSb // ФТП.—2007.— Т. 41, вып. 7.— С. 878—882.
- 6. Sakai A., Naitoh M., Kobayashi M., Umeno M. . InGaAsP/InP phototransistor-based detectors // IEEE Trans. Electron Devices ED-30.— 1983.— N 4.— P. 404—408.
- 7. Capasso F., Tsang W. T., Bethea C. G. et al. New graded bandgap picosecond phototransistor // Appl. Phys. Lett.— 1983.— N 42.— P. 93—95.
- 8. Солободчиков С. В., Салихов Х. М., Руссу Е. В., Малинин Ю. Г. Гашение тока светом в диодных структурах p-Si-n<sup>+</sup>-ZnO-n-ZnO-Pd //  $\Phi$ TП.— 2001.— Т. 35, вып. 4.— С. 479—481.
- 9. Якимов А. И., Двуреченский А. В., Никифоров А. И., Проскуряков Ю. Ю. Германий-кремниевые фотоприемники на квантовых точках // Природа.— 2001.— № 10.— С. 112. (vivovoco.rsl.ru/VV/NEWS/PRIRODA/2001/PR 10 01.HTM).
- 10. Войцеховский А. В., Коханенко А. П., Несмелов С. Н. и др. Пороговые характеристики ИК-фотоприемников на основе барьеров Шоттки PtSi-*p*-Si с высоколегированным поверхностным слоем // Прикладная физика.— 2002.— № 6.— С. 67—73.
- 11. Якимов А. И., Двуреченский А. В., Кириенко В. В., Никифоров А. И. Ge/Si-фотодиоды и фототранзисторы со встроенными слоями квантовых точек Ge для волоконно-оптических линий связи // ФТТ.— 2005.— Т. 47, вып. 1.— С. 37—40.
- 12. Полупроводниковые приборы и их применение / Под ред. Я. А. Федотова. Вып. 25.— М.: Сов. радио, 1971.